

愛媛大学工学部 正会員 伊福 誠

愛媛大学工学部 正会員 神沼忠男

愛媛大学工学部 正会員 井内国光

1. まえがき

我が国の海岸地帯は、海上交通の基地としての港湾の建設および生活空間拡張のための埋立など多種多様な開発・利用が行なわれ、数多くの海岸構造物が築造されつつある。ところで海岸構造物を設計する場合には、構造物が築造される浅海領域における波浪特性を十分に把握し設計波を決定する必要がある。著者は、昭和52年から愛媛県中予海岸において水压式波高計により波浪変形の観測を行なってきたが、海岸波浪の変形機構をより明確にすくには波浪内部における流れの実態を十分に把握することが必要となる。以上のことから、この研究は、中予海岸を対象領域とし、現地観測に基づいて浅海における海岸波浪による流れについての基礎的資料を得ようとしたものである。

図-1中の白丸で示す沖合約190m、平均水深6.5mの地図に直結型水压式波高計および電磁誘導型流速計を設置した。流速計のセンサーは海底上0.85mにあり、また、水平成分および鉛直成分は、それと並んで岸向きおよび上向きを正とし、水平成分は卓越波向WNWと平行とした。波浪資料は、流速資料と同時に収集されており、波高計を改変し陸上で得られかねないようにしたが、ケーブルが碎波堤付近で切れ僅か3例しか得られなかった。

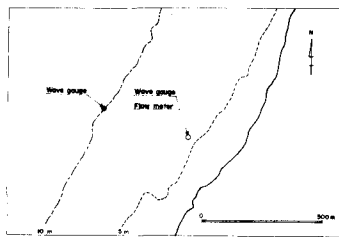


図-1 観測位置図

2. 資料の解析

観測は、昭和55年1月21日から2月2日まで実施し、得た流速資料は、30分毎に解析した。

3. 解析結果

平均流速は、水平成分および鉛直成分ともすべて負の値、すなわち、岸から沖合方向および海面から海底への流れがあり、水平成分は-8.2~-33.0 cm/secの範囲に

ある。これに対して、鉛直成分は-3.1~-11.6 cm/secである。沖合方向および海底への流れが最大となるのは下げ潮時である。図-2は、流速の分散の変化を示したものである。図中には流速計設置位置より水深も示している。この図をみると、1月31日0時30分~6時30分までの資料を除いて、水平成分の分散は水深が大きくなるにつれて小さくなることがある。図-3は、図-2に示した水平成分の分散から微小振幅波理論を適用して表面での水平成分の分散を求める変化を示したものである。図-4は、観測地点より約10km離れた松山空港での風速の変化を示したものであり、風向はW~WNWである。図-3と図-4を比べると算出した表面での水平成分の分散の変化と風速の変化とはほぼ似ていることがわかる。

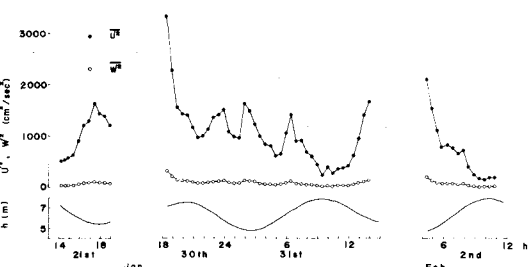


図-2 水平成分および鉛直成分の分散

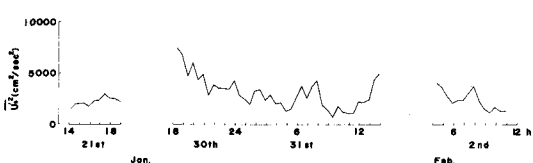


図-3 表面での水平成分の分散

図-5は、水平成分のパワースペクトルと $E_f = f^{-5} \sim f^{-10}$ の比較を示したものである。図中の実線、破線、一点鎖線および二点鎖線は、それぞれ、満潮時、下げ潮時、干潮時および上げ潮時の資料である。

この図をみると、パワースペクトルは各時刻とも直角低減率 $\beta = -7$ 周波数の高周波側では周波数の $-8 \sim -9$ 乗に比例して減少することがわかる。図-6は、図-5に示した水平成分のパワースペクトルより模型理論を仮定して求めた表面波のパワースペクトルと $E_f = f^{-5} \sim f^{-6}$ の比較を示したものである。この図をみると、 $\beta = -7$ 周波数の高周波側では周波数の $-5 \sim -6$ 乗に比例して減少することがわかる。著者らは、この海域で水压式波高計による波浪資料とともに表面波のパワースペクトルを算出し、 $\beta = -7$ 周波数の高周波側は周波数の $-5 \sim -6$ 乗に比例することを見出している。以上のことをより上述の算出した表面より水平成分の分散の変化が風速の変化にかなり似てることにより、流速の変動成分はほぼ風速によらず流速の変動成分によらず考えられる。流速変動の非線型特性を調べるために図-7に水平成分の頻度分布を示した。表面波の水面変動の確率密度分布は、水面変動の振幅、周波数および位相が異なり独立した正弦波の無限個の重ね合せを考えれば Gauss 分布に近いことが予想される。しかし、実際の波には非線型干涉が存在し、もし3次の分布は Gauss 分布に補正項を加えた Gram-Charlier 分布に従うとされる。水中における水粒子の運動が水面変動に起因する上層部の流速変動の頻度分布も Gram-Charlier 分布に従うであろう。図-7に示した頻度分布は分散が最大の資料についてである。

この図をみると、実測値は平均値附近 Gram-Charlier 分布より正の方へ偏っているが、他の結果とよく一致している。図-8は、上げ潮時にかけた2時間ごとの頻度分布を示したものである。この図をみると、標準偏差の大きい場合には、平均値附近における正の方への偏りが大きいことがわかる。また、平均値の半分より非対称性を示す程度である skewness と分散との関係を調べた結果、水平成分および鉛直成分とも skewness の値はすべての資料について負であり、その絶対値は、分散が大きくなるにつれて増大する傾向を示した。

以上、風波下における流速について調べたが、今後波浪資料との相関、碎波束附近での水粒子の運動などについて詳しく調べたいといふと思う。

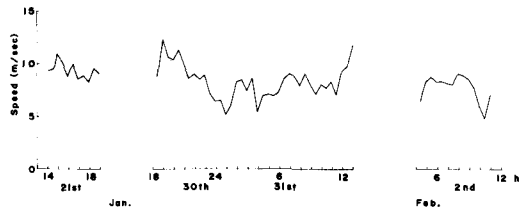


図-4 松山空港における風速変化

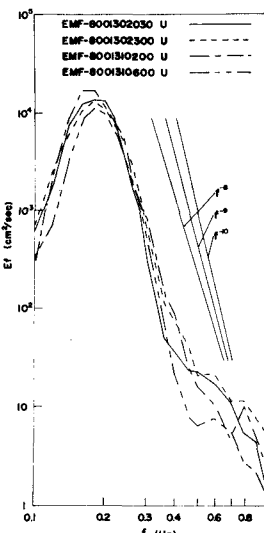


図-5 水平成分のパワースペクトル

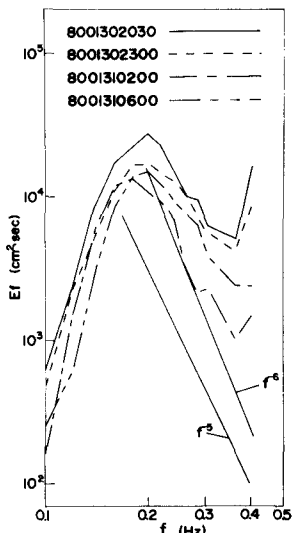


図-6 算出した表面波のパワースペクトル

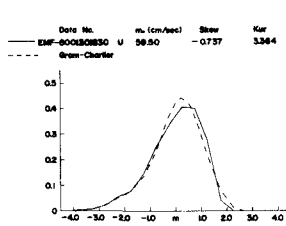


図-7 水平成分の頻度分布

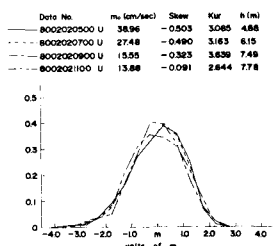


図-8 頻度分布の変化